



HAL
open science

Echanges thermiques et phases fluides

Roger Prud'Homme, Stéphane Préau

► **To cite this version:**

Roger Prud'Homme, Stéphane Préau. Echanges thermiques et phases fluides. ICTEA-HT3-06, May 2004, Beyrouth, Liban. hal-02275006

HAL Id: hal-02275006

<https://hal.science/hal-02275006>

Submitted on 30 Aug 2019

HAL is a multi-disciplinary open access archive for the deposit and dissemination of scientific research documents, whether they are published or not. The documents may come from teaching and research institutions in France or abroad, or from public or private research centers.

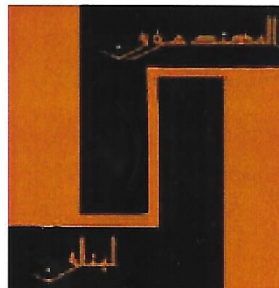
L'archive ouverte pluridisciplinaire **HAL**, est destinée au dépôt et à la diffusion de documents scientifiques de niveau recherche, publiés ou non, émanant des établissements d'enseignement et de recherche français ou étrangers, des laboratoires publics ou privés.



Canadian Embassy in Lebanon
Ambassade du Canada au Liban

**INTERNATIONAL CONFERENCE ON THERMAL ENGINEERING:
THEORY AND APPLICATIONS**

BOOK OF ABSTRACTS



**May 31-June 4, 2004
BEIRUT-LEBANON**

A handwritten signature or mark in black ink, consisting of a stylized, cursive letter 'a' or similar character.

Scientific Program

Sunday May 30, 2004

18:00-19:30 Early Registration
19:30-21:00 Reception hosted by the Canadian Embassy

Monday May 31, 2004

08:30-09:30 Registration

Master of the Ceremony: M. Z. Saghir

09:30-11:00 Opening Ceremony

HE. President Emile LAHOUD
HE Canadian Ambassador Michel Duval
President of the Lebanese Order of Engineers and Architecture in Beirut
Mr Sobhi Bissat

11:00-11:30 Morning Break

11:30-12:15 Plenary Lecture by Prof. D.B. Ingham

Fluid Flows Through Porous Media: A Review and a Geological Application

12:15-13:00 Plenary Lecture by Prof. D. Siginer

Heat Transfer Enhancement in the Flow of Complex Fluids in Straight Tubes

13:00-14:00

Lunch Sponsored by the Lebanese Order of Engineers and Architecture in Beirut.

Lunch Speaker: Mr. Nabil Abu Jawdi

14:00-15:20 Heat Transfer Session I

Chair: D. Siginer

ICTEA-HT1-01

Experimental and Numerical Modeling of Viscous Fingering under Combined Effects of Thermal, Solutal and Mixed Convection in Liquid-Liquid Miscible Displacements

K. Bokhari and M.R. Islam

ICTEA-HT1-02

Numerical and Experimental Investigation for Reverse Flow in an Isothermal Inclined Tube

I. Voicu, T. Maré, A.G. Schmitt, C.T. Nguyen, N. Galanis

ICTEA-HT1-03

MHD-Mixed Convection Heat Transfer from Radiant Vertical Cylinder

H.M. Duwairi, S. Al-Araj

ICTEA-HT1-04

A Transiently Heated Micro Thermocouple Anemometer

M. Khan, F. Lanzetta, E. Gavignet, P. Nika

15:20-15:40 Afternoon Break

15:40-18:20 Porous Media Session I

Chair: D. Ingham

ICTEA-PM1-01

Theoretical Study of Heat and Mass Transfer within Cylindrical Porous Media with Cylindrical Dielectric Cores in Microwave Freeze Drying

H. Wu, Z. Tao, G. Chen

ICTEA-PM1-02

Simulation Numérique du Phénomène de Condensation Autour d'un Tube Elliptique dans un Milieu Poreux

R. Kibboua, A. Azzi

ICTEA-PM1-03

Augmentation of Natural Convection Heat Transfer by a Rotating Cylinder Placed in a Cavity

- ICTEA-HT3-02 K.R. Agha, H.A. Belhaj, S. Mustafiz, N. Bjorndalen and M.R. Islam
Steady Thermal Comfort by Radiant Heat Transfer: Impact of Heater Position
N. Ghaddar, K. Ghali, M. Salam
- ICTEA-HT3-03 Thermal Analysis of Electric Discharge Machining Process
N. Ben Salah, F. Ghanem, K. Ben Atig
- ICTEA-HT3-04 Radiant Floor Heating: An Opportunity for Energy Conservation
K. Ghali, S. Chehade, K. El-Khoury
- ICTEA-HT3-05 Experimental Analysis of Hydrodynamics and Influence of Temperature in a
Food Dryer
K. Daoud, M. Hamoudi, H. Abchiche
- ICTEA-HT3-06 Echanges Thermiques et Phases Fluides
R. Prud'homme, S. Préau
- ICTEA-HT3-07 Numerical Study of Bidimensional Steady Natural Convection in Space Annuli
Between Two Elliptic Confocal Ducts: Influence of the Slope Angle
D. Mahfoud, M. Daguene
- ICTEA-HT3-08 Numerical Investigation of Fluid Flow and Heat Transfer Characteristics In Sine,
Triangular and Arc Shaped Channels using Periodic Boundary Conditions
M. Z. Hossain, M. J. Ahamed, A.K.M. Sadrul Islam

Thursday June 3, 2004

Chair: G. Nasr

8:40-10:00

Turbulent Flow Session I

- ICTEA-TF1-01 Numerical Simulation of Vertical Hybrid Solar Collector under Turbulent Natural
Convection
R. Bennacer
- ICTEA-TF1-02 Large Eddy Simulation of Rotating Turbulent Convection Using the Estimation
Subgrid Scale Model
S.J. Klotzkin, F.P. Deek
- ICTEA-TF1-03 Two Dimensional Clothing Ventilation Model for a Walking Human
K. Ghali, N. Ghaddar, J. Harathani
- ICTEA-TF1-04 Turbulent Kinetic Energy Distribution across the Interface Region Between a
Porous Medium and a Clear Fluid
M.J.S. De Lemos

10:00-10:20

Morning Break

10:20-12:00

Material Science Session I

Chair: M. Mehrvar

- ICTEA-MS1-01 The Effect of Vibrations on Material Processing-related Transport Phenomena
in Space
S. Hassan, T. Lyubimova, D. Lyubimov and M. Kawaji
- ICTEA-MS1-02 On Some Latent Heat Effects on Solid/Liquid Transition During Floating Zone
Growth From the Melt
E. Semma, M. El Ganaoui and R. Bennacer
- ICTEA-MS1-03 Numerical Investigation of the Vertical Parallel-Plates Natural Convection
Flows for Low-Prandtl Fluids
A. Campo, O. Manca, B. Morrone
- ICTEA-MS1-04 Modeling Substrate Concentrations and Biofilm Growth in Pipeline Systems
M.M. Al-Darbi, K. Agha, M.R. Islam
- ICTEA-MS1-05 Transient MHD Free Convection on a Moving Isothermal Vertical Plate with
Chemical Reaction
M. Al-Odat

ECHANGES THERMIQUES ET PHASES FLUIDES

R. Prud'homme, S. Préau

Laboratoire de Modélisation en Mécanique – UPMC/CNRS, Case 162 - 4 place Jussieu 75252 PARIS CEDEX 05

SOMMAIRE

GENERALITES

Un changement de phase s'accompagne toujours d'un échange de chaleur. Néanmoins les choses peuvent se passer différemment selon le chemin suivi sur le diagramme d'état thermodynamique.

Comme on peut le constater sur la figure 1, il est possible de ne pas observer d'interface lors de la transformation liquide-vapeur d'un corps pur, si l'on contourne le point critique C.

C'est le cas d'une goutte de liquide froid, s'épandant de façon isobare (de pression plus ou moins supercritique, comme cela se produit avec l'oxygène liquide dans un moteur cryogénique) dans une atmosphère chaude où elle a été plongée (chemin 1). En revanche, en suivant le chemin 2 qui traverse la ligne de coexistence liquide-vapeur, il y a forcément une interface. C'est toujours le cas dans les évolutions isobares à pression subcritique (chemin 3).

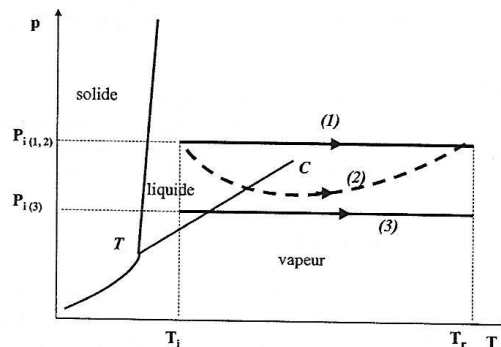


Fig 1. Chemins de transformations thermodynamiques dans le diagramme d'état d'un corps pur (T, point triple, C, point critique)

CHANGEMENT DE PHASE AVEC INTERFACE

Nous présenterons ici diverses situations.

2.1. Goutte liquide en évaporation

La théorie classique (Godsave [1], Spalding) considère une évolution quasistationnaire en phase vapeur. En ce qui concerne la phase liquide, deux cas se présentent :

- le régime stabilisé, où la goutte a atteint une température uniforme de vapeur saturante correspondant à la pression considérée. On trouve que le carré du diamètre D de la goutte régresse suivant une loi linéaire du temps (loi du D²).
- le régime de chauffage, pour lequel la température interne de la goutte est non uniforme et évolue dans le temps (une partie de la chaleur apportée par le gaz : Q_L sert à réchauffer le liquide, une autre à l'évaporer). Apparaît ici le nombre de Spalding caractéristique [2] :

$$B_T = \frac{C_p(T_\infty - T_S)}{\ell + Q_L / \dot{M}} \quad (C_p, \text{chaleur spécifique à pression constante}, \ell, \text{chaleur latente}, T_\infty, T_S,$$

température à l'infini et à la surface de la goutte, \dot{M} , débit masse de la goutte) et la loi du D² n'est plus vérifiée.

2.2. Plaque en combustion soumise à un écoulement parallèle

La plaque se sublime (ou s'évapore après s'être liquéfiée superficiellement sous l'effet de la flamme). La théorie d'Emmons fournit une solution analytique vérifiant l'équation de Blasius. Apparaît ici le

$$\text{nombre de transfert de masse [3]} : \quad B = \frac{\Delta H_c Y_{O_2, \infty} - C_{p_\infty} (T_w - T_\infty)}{\Delta H_p + Q}$$

(ΔH_c , enthalpie de combustion par unité de masse d'oxygène consommée et $Y_{O_2, \infty}$, fraction massique d'oxygène, C_{p_∞} , capacité calorifique à pression constante de l'air ambiant et T_∞ sa température, ΔH_p , enthalpie massique de pyrolyse et Q regroupant l'ensemble des pertes thermiques à la surface du combustible par unité de masse de combustible pyrolysé)

2.3. Le recul différentiel de la vapeur

Dans certaines circonstances (évaporation sous vide, ébullition en proche critique), un terme de

$$\text{pression en carré de la vitesse relative du gaz par rapport à l'interface} : \quad p_L - p_G = \dot{m}^2 \left(\frac{1}{\rho_G} - \frac{1}{\rho_L} \right),$$

(L pour la phase liquide, G pour la vapeur, p , pression, ρ , masse volumique, \dot{m} , débit unitaire) s'exerce normalement à cette interface, provoquant des perturbations importantes à son mouvement et à sa forme. En configuration plane, cela donne naissance à l'instabilité de Hickmann étudiée par Palmer [4]. Dans le cas de l'ébullition en proche critique, on observe une situation, étudiée par Nikolayev [5], où la vapeur paraît mouiller la paroi.

2.4. Évaporation et théorie cinétique des gaz (Nicodin et Gatignol [6])

L'écoulement du gaz est considéré sur la base des modèles discrets pour l'équation de Boltzmann. La formation et la propagation de la perturbation dans le gaz, initialement uniforme et limité par sa phase condensée en déséquilibre avec la phase gazeuse, sont analysées quand l'évaporation ou la condensation prennent place.

CHANGEMENT DE PHASE SANS INTERFACE

3.1. Tension superficielle effective

Selon les travaux de Defay et Sanfeld pour les fluides miscibles, ou selon la théorie du second gradient (voir Gatignol et Prud'homme [7]), une tension de surface effective apparaît du fait de la présence d'une zone de fort gradient. On trouve, pour cette tension effective dans le cas d'un fort gradient de masse volumique, une expression de la forme :

$$\sigma_{\text{eff}} = \int_{\xi_1}^{\xi_2} \lambda \vec{\nabla} \rho \cdot \vec{\nabla} \rho d\xi, \quad (\xi, \text{ coordonnée normale à l'interface}, \lambda, \text{ coefficient de capillarité}).$$

3.2. Expansion d'une goutte sous pression supercritique

Deux cas se présentent :

- $p_r = p_i \geq p_c$, $\rho_i = \rho_c > \rho_r$, $T_i = T_c < T_r$, ce cas se présente dans les propulseurs cryogéniques avec l'injection de gouttes froides de LOX
- $p_r = p_i > p_c$, $\rho_i > \rho_c > \rho_r$, $T_i < T_c < T_r$, ce cas, difficile à traiter à cause des divergences critiques au voisinage de la goutte a fait l'objet d'études analytiques et numériques récentes (Préau et al. [7]). Nous présentons sommairement un résultat concernant l'évolution du diamètre de la goutte au cours du temps.

Il a été procédé à des développements asymptotiques et une solution quasi-stationnaire originale a été mise en évidence, qui s'avère en bon accord avec les résultats numériques. Pour ce nouveau type de solution, la limite intérieure de la zone de transition goutte-gaz considérée correspond à la densité initiale, tandis que sa limite extérieure est la sphère où le débit masse est maximum. On obtient une loi d'évolution approchée :

$D^\beta - \beta D = (1 - \beta) \sqrt{1 - \tau}$, (D , diamètre réduit de la limite intérieure de la zone de transition, τ , temps réduit, β , coefficient constant), qui permet de retrouver, pour β grand, la loi du D^2 .

1. Godsave, G.A.E. (1953): "Studies of the combustion of drops in a fuel spray. The burning of single drops of fuel", *Fourth Symposium (International) on Combustion*, The Combustion Institute, 818-830.
2. Lefebvre, A.H. (1989) : « *Atomization and sprays* », Hemisphere Publishing Corporation.
3. Emmons, (1956) : "The film combustion of liquid fuel", *Zeitschrift für angewandte mathematik und mechanik*, vol. 36, pp. 60
4. Nikolayev, V.S. & Beysens, D.A. (1999): "Boiling crisis and non-equilibrium drying transition", *Europhys. Lett.*, **47**, 345-351.
5. Palmer, H.J. (1976): "The hydrodynamic stability of rapidly evaporating liquids at reduced pressure", *J. Fluid Mech.*, **75**, 487-511.
6. Nicodin et Gatignol (2003): « Modélisation du phénomène d'évaporation et de condensation sur la base de la théorie cinétique discrète », 16^{ème} Congrès Français de Mécanique, Nice, 1-5 septembre.
7. R. Gatignol & R. Prud'homme (2001) - Mechanical and thermodynamical modeling of fluid interfaces- Series on Advances in Mathematics for Applied Sciences, Vol 58, *World Scientific*.
8. S. Préau, J. Ouazzani, R. Prud'homme, B. Zappoli (2003) "Evaporation d'une goutte de corps pur dans sa vapeur près du point critique : pertinence de l'hypothèse quasi-stationnaire et corrections au deuxième ordre". *Congrès Français de Mécanique, Nice, 1-5 septembre*.